

# Модель «шашки Фейнмана» с поглощением

Дмитриев Михаил

15 Апреля 2022

## Аннотация

Приводится новое элементарное доказательство теоремы Амбаиниса и соавторов о том, что в модели «шашки Фейнмана» амплитуды вероятности поглощения в начальной точке после  $4n$  шагов пропорциональны числам Каталана. Также впервые вычислены вероятности поглощения в точках, близких к начальной.

**Ключевые слова:** Шашки Фейнмана, квантовые блуждания, числа Каталана, метод отражений

**MSC2010:** 82B20, 81T25

## Введение

«Шашки Фейнмана» — это наиболее элементарная модель движения электрона. Модель была предложена Ричардом Фейнманом в 1965 году [2]. Она известна также как одномерное квантовое блуждание [1]. Модель наиболее примечательна тем, что она наглядно иллюстрирует многие базовые идеи квантовой теории и является одной из архитектур универсального квантового компьютера [5]. Актуальные обзоры приводятся в [3, 4, 5].

В основу данной работы лег известный результат Амбаиниса и его коллег [1] о том, что вероятность возвращения одномерного квантового блуждания в начальную точку равна  $\frac{2}{\pi}$  (теорема 1). Напомним, что для классического случайного блуждания эта вероятность равна 1 (теорема По́йа). Мы приводим новое элементарное доказательство этого результата и обобщаем его на точки, близкие к начальной (теорема 2).

## Определение модели

Мы начнем с неформального определения модели «шашки Фейнмана», а затем дадим точное. Этот раздел почти полностью заимствован из работы [4].

На бесконечной шахматной доске шашка ходит на соседнюю по диагонали клетку влево-вверх или вправо-вверх (рис.1). Каждому пути  $s$  шашки сопоставим вектор  $a(s)$

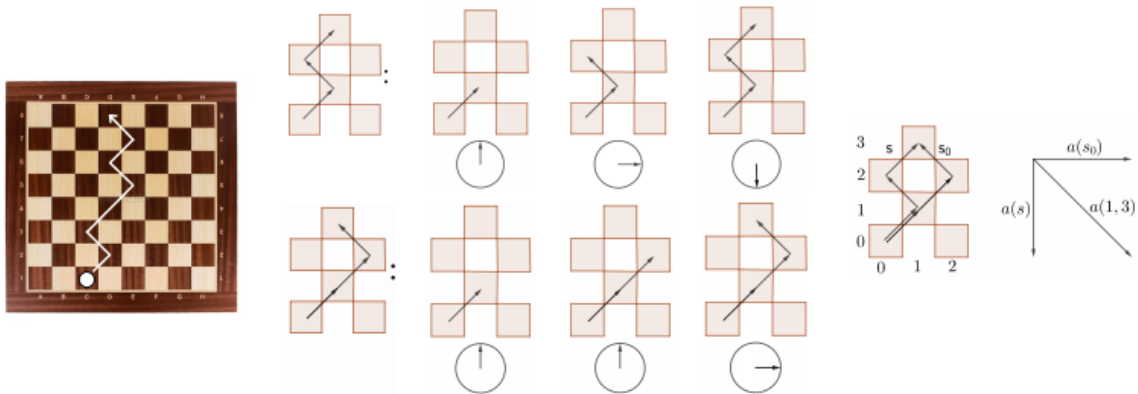


Рис. 1: [4] Пути шашек

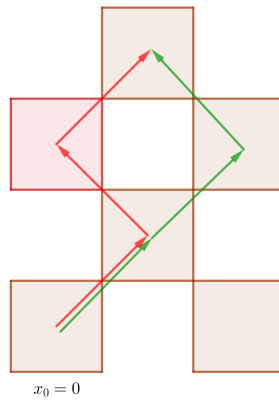


Рис. 2: Пути для модели с поглощением

на плоскости следующим образом. В начале движения этот вектор направлен вверх и имеет длину 1. Пока шашка движется вдоль прямой, вектор не меняется, а после каждого поворота шашки он поворачивается на  $90^\circ$  по часовой стрелке (независимо от того, в какую сторону повернула шашка). В конце движения вектор сжимается  $2^{(t-1)/2}$  раз, где  $t$  — общее число ходов шашки (т.е. заменяется на вектор такого же направления, но длины  $1/2^{(t-1)/2}$ ). Полученный в итоге вектор и есть  $a(s)$ . Например, для пути на рис.1 слева вектор  $a(s) = (1/8, 0)$ .

Обозначим  $a(x, t) := \sum_s a(s)$ , где суммирование ведется по всем путям  $s$  шашки из клетки  $(0, 0)$  в клетку  $(x, t)$ , начинающимся с хода вправо-вверх. Если таких путей нет, то будем считать  $a(x, t) := \vec{0}$ . Например,  $a(1, 3) = (0, -1/2) + (1/2, 0) = (1/2, -1/2)$ ; рис.1 справа.

Число  $P(x, t) = |a(x, t)|^2$  называется вероятностью обнаружения электрона в клетке  $(x, t)$ , если он испущен из клетки  $(0, 0)$ .

Вероятность обнаружения электрона в клетке  $(x, t)$  при поглощении на прямой  $x = x_0$  определяется аналогично вероятности  $P(x, t)$ , только суммирование производится по путям  $s$ , не проходящим через клетки вертикали  $x = x_0$ , за исключением, быть может, начальной и конечной клеток. Обозначим эту вероятность через  $P(x, t \text{ bypass } x_0)$ . Например, на рис. 2 красный путь мы не будем учитывать при суммировании, а зеленый будем. Соответственно, для модели с поглощением  $a(1, 3 \text{ bypass } 0) = (1/2, 0)$ . Значения  $a(x, t \text{ bypass } 0)$  при малых  $x$  и  $t$  показаны на рис. 3.

Резюмируем эту конструкцию в виде точного определения.

**Определение.** *Путь шашки* — это конечная последовательность целых точек плоскости такая, что вектор из каждой точки (кроме последней) к следующей равен либо  $(1, 1)$ , либо  $(-1, 1)$ . *Поворот* — это такая точка пути (не первая и не последняя), что вектор, соединяющий эту точку с предыдущей, ортогонален вектору, соединяющему её со следующей. *Стрелка* (или *амплитуда вероятности*) — это комплексное число

$$a(x, t \text{ bypass } x_0) := 2^{(1-t)/2} i \sum_s (-i)^{\text{turns}(s)},$$

где сумма берётся по всем путям  $s$  шашки из точки  $(0, 0)$  в точку  $(x, t)$ , проходящим через точку  $(1, 1)$  и не проходящим через точки прямой  $x = x_0$ , кроме, быть может, начальной и конечной точки пути, а  $\text{turns}(s)$  обозначает общее число поворотов в  $s$ . Здесь и далее пустая сумма по определению считается равной 0. Обозначим

$$P(x, t \text{ bypass } x_0) := |a(x, t \text{ bypass } x_0)|^2.$$

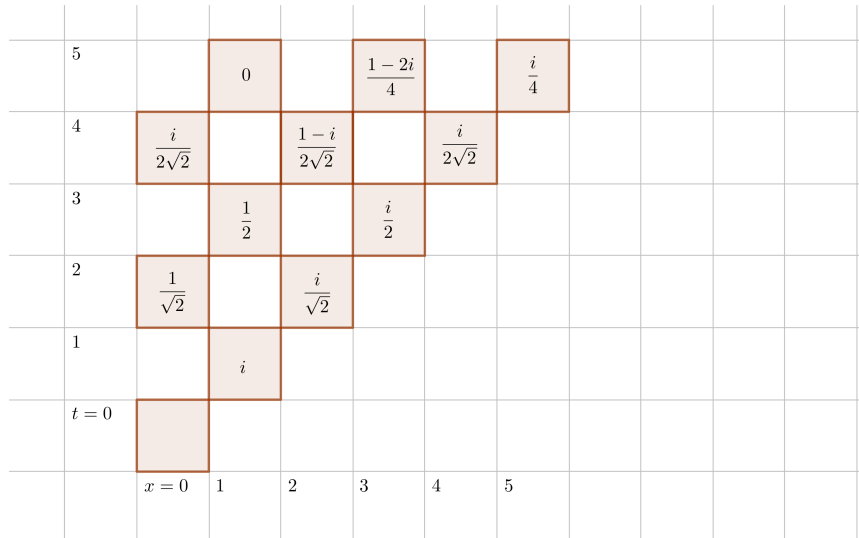


Рис. 3: Значения  $a(x, t \text{ bypass } 0)$  при  $0 \leq x, t \leq 5$

Исследование данной модели началось со следующего яркого результата.

**Теорема 1** (Амбаинис и др., [1]). Для любого целого  $t > 0$  выполнено

$$a(0, t \text{ bypass } 0) = \begin{cases} \frac{1}{\sqrt{2}}, & t = 2; \\ \frac{(-1)^k \binom{2k}{k}}{(k+1)2^{2k+3/2}}, & t = 4k + 4, \text{ где } k \in \mathbb{Z}; \\ 0, & \text{иначе.} \end{cases}$$

Более того,

$$\sum_{t=1}^{\infty} P(0, t \text{ bypass } 0) = \frac{2}{\pi}.$$

Последнее выражение – это вероятность поглощения электрона в начальной точке.

Далее в разделе "Вариации" мы докажем первую часть теоремы способом отличным от такового в статье Амбаиниса.

## Основной результат

Теперь сформулируем основную теорему. Это утверждение было предложено в качестве гипотезы Г. Минаевым и И. Русских в 2019.

**Теорема 2.**  $\sum_{t=1}^{\infty} P(3, t \text{ bypass } 3) = 2 \sum_{t=1}^{\infty} P(-1, t \text{ bypass } -1) = \frac{8}{\pi} - 2$ .

Основной интерес представляет первое равенство, а второе легко следует из теоремы 1 и следующей леммы.

**Лемма 1.** При  $t > 2$  верно равенство  $a(-1, t \text{ bypass } -1) = \sqrt{2} a(0, t + 1 \text{ bypass } 0)$ .

*Доказательство.* Построим биекцию между путями, дающими вклад в  $a(0, t + 1 \text{ bypass } 0)$ , и путями, дающими вклад в  $a(-1, t \text{ bypass } -1)$ . Рассмотрим путь  $s$ , дающий вклад в  $a(0, t + 1 \text{ bypass } 0)$ , и построим по нему путь  $s'$ , дающий вклад в  $a(-1, t \text{ bypass } -1)$ , сдвинув  $s$  на вектор  $(-1, -1)$  и удалив первый ход (как на рис. 4). Заметим, что для  $t > 2$  построенное отображение  $s \mapsto s'$  – биекция, так как если бы построенный путь  $s'$  начинался с хода влево-вверх, то  $s$  проходил бы через точку  $(0, 2)$  и не мог бы давать вклад в  $a(0, t + 1 \text{ bypass } 0)$ . Из того, что путь  $s'$  короче на один шаг, следует равенство  $\sqrt{2}a(s) = a(s')$ . Суммируя по всем путям, получаем утверждение леммы.  $\square$

**Лемма 2.** При  $t > 2$  верно равенство  $a(2, t \text{ bypass } 2) = -i a(0, t \text{ bypass } 0)$ .

*Доказательство.* Построим биекцию между путями, дающими вклад в  $a(0, t \text{ bypass } 0)$ , и путями, дающими вклад в  $a(2, t \text{ bypass } 2)$ . Рассмотрим путь  $s$ , дающий вклад в  $a(0, t \text{ bypass } 0)$ , и построим по нему путь  $s'$ , дающий вклад в  $a(2, t \text{ bypass } 2)$ , получающийся из  $s$  отражением относительно прямой  $x = 1$ , начиная со второго хода (как на рис. 5).

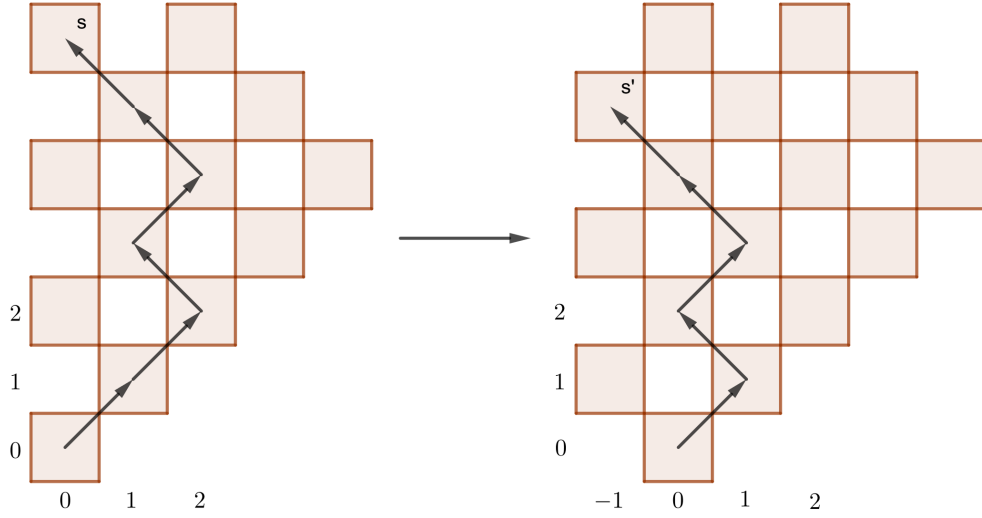


Рис. 4: Отображение путей (см. лемму 1)

Очевидно, что это биекция. Более того, верно  $-i a(s) = a(s')$ , если  $s$  и  $s'$  не заканчивались на горизонтали  $t = 2$ . Суммирование по путям  $s$  и  $s'$  завершает доказательство леммы.  $\square$

**Лемма 3.** При  $t > 3$  верно равенство

$$a(3, t \text{ bypass } 3) = \sqrt{2} a(2, t - 1 \text{ bypass } 2) - i a(-1, t \text{ bypass } -1).$$

*Доказательство.* Разобьем пути, дающие вклад в  $a(3, t \text{ bypass } 3)$ , на два множества:

$R$  — множество путей, которые начинаются с двух ходов вправо-вверх;

$L$  — множество путей, которые начинаются с хода вправо-вверх, а затем идет ход влево-вверх.

Посторим биекцию множества  $R$  и множества путей, дающих вклад в  $a(2, t - 1 \text{ bypass } 2)$ , убирая первый ход и сдвигая путь на вектор  $(-1, -1)$ .

Суммируя по всем таким путям, получаем

$$\sum_{s \in R} a(s) = \frac{a(2, t - 1 \text{ bypass } 2)}{\sqrt{2}}.$$

Построим биекцию множества  $L$  и множества путей, начинающихся двумя ходами вправо-вверх и дающими вклад в  $a(-1, t \text{ bypass } -1)$ . Для этого отразим путь из  $L$ , начиная со второго хода, относительно прямой  $x = 1$  (Это отображение обатно изображенному

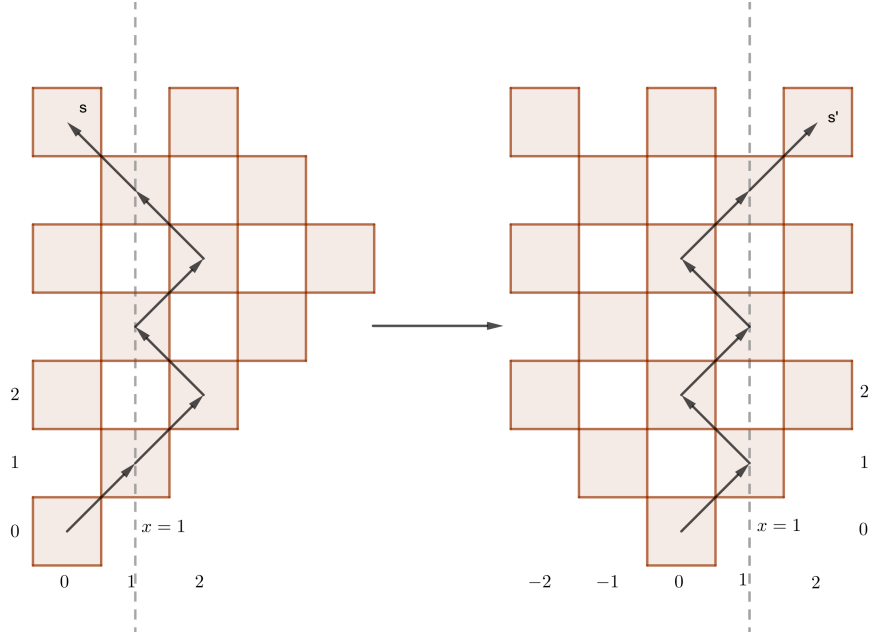


Рис. 5: Отображение путей (см. лемму 2)

на рис. 5). Для вычисления  $\sum_{s \in L} a(s)$  остается посчитать сумму по путям, которые дают вклад в  $a(-1, t \text{ bypass } -1)$  и начинаются с хода вправо-вверх, а затем идет ход влево-вверх. Эти пути мы отобразим в пути, которые дают вклад в  $a(2, t - 1 \text{ bypass } 2)$ , убрав первый ход и сделав сдвиг на вектор  $(-1, -1)$ , а затем отражение относительно прямой  $x = 0$  (как на рис. 6). В результате получаем

$$\sum_{s \in L} a(s) = -i a(-1, t \text{ bypass } -1) + \frac{1}{\sqrt{2}} a(2, t - 1 \text{ bypass } 2).$$

Прибавляя вычисленную ранее сумму по  $s \in R$ , получаем требуемое утверждение.  $\square$

**Предложение 1.** При  $t > 3$  верно следующее равенство

$$a(3, t \text{ bypass } 3) = -i \sqrt{2} a(0, t + 1 \text{ bypass } 0) - i \sqrt{2} a(0, t - 1 \text{ bypass } 0).$$

*Доказательство.* По леммам 1 – 3 имеем

$$\begin{aligned} a(3, t \text{ bypass } 3) &= \sqrt{2} a(2, t - 1 \text{ bypass } 2) - i a(-1, t \text{ bypass } -1) = \\ &= -i \sqrt{2} a(0, t + 1 \text{ bypass } 0) - i \sqrt{2} a(0, t - 1 \text{ bypass } 0). \end{aligned}$$

$\square$

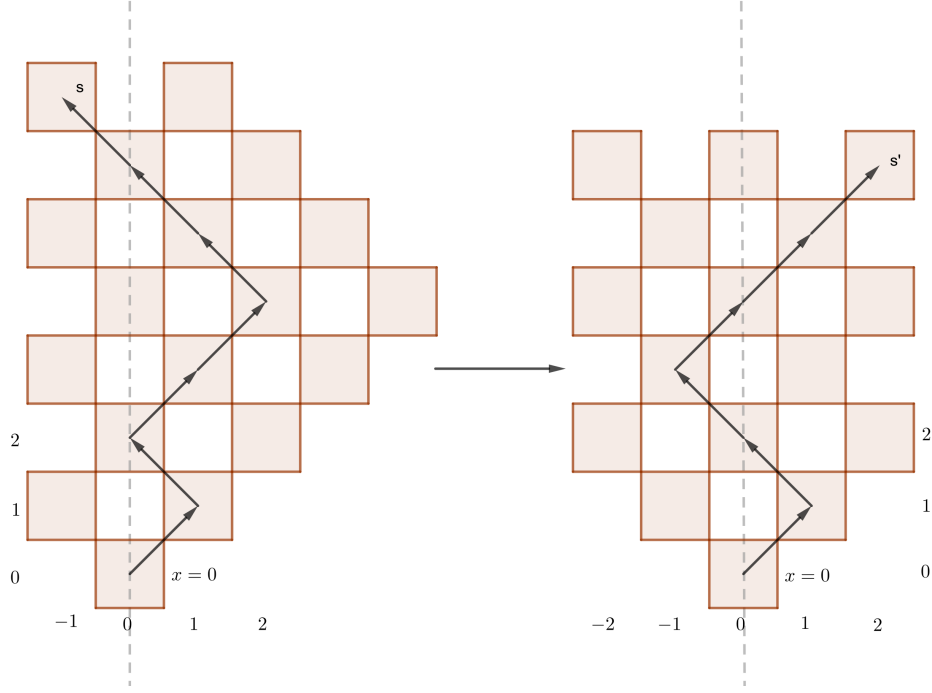


Рис. 6: Отображение путей (см. лемму 3)

*Доказательство теоремы 2.* Из теоремы 1 получаем, что  $a(0, 4t + 4 \text{ bypass } 0) = \frac{(-1)^t \binom{2t}{t}}{(t+1)2^{2t+3/2}}$ , а  $a(0, 4t + 2 \text{ bypass } 0) = 0$  при целых  $t > 0$ . Тогда из предложения 1 получаем  $P(3, 4t + 1 \text{ bypass } 3) = 2|a(0, 4t \text{ bypass } 0)|^2$ , а  $P(3, 4t + 3 \text{ bypass } 3) = 2|a(0, 4(t + 1) \text{ bypass } 0)|^2$ . Так как  $\sum_{t=1}^{\infty} P(0, t \text{ bypass } 0) = \frac{2}{\pi}$  по теореме 1, то

$$\begin{aligned}
\sum_{t \in \mathbb{Z}} P(3, t \text{ bypass } 3) &= \sum_{t > 3} 2|a(0, t + 1 \text{ bypass } 0)|^2 + \sum_{t > 3} 2|a(0, t - 1 \text{ bypass } 0)|^2 + P(3, 3 \text{ bypass } 3) = \\
&= 2 \left( \sum_{t=1}^{\infty} P(0, t \text{ bypass } 0) - P(0, 2 \text{ bypass } 0) - P(0, 4 \text{ bypass } 0) \right) + \\
&+ 2 \left( \sum_{t=1}^{\infty} P(0, t \text{ bypass } 0) - P(0, 2 \text{ bypass } 0) \right) + P(3, 3 \text{ bypass } 3) = \\
&= 2 \left( \frac{2}{\pi} - \frac{1}{2} - \frac{1}{8} \right) + 2 \left( \frac{2}{\pi} - \frac{1}{2} \right) + \frac{1}{4} = \frac{8}{\pi} - 2
\end{aligned}$$

□

## Вариации

Для нового доказательства теоремы 1 нам потребуется следующая лемма, аналогичная известному рекуррентному соотношению для чисел Каталана.

**Лемма 4.** Для любого целого  $n > 2$  выполнено:

$$a(0, 2n \text{ bypass } 0) = \frac{-1}{\sqrt{2}} \sum_{j=2}^{n-2} a(0, 2(n-j) \text{ bypass } 0) a(0, 2j \text{ bypass } 0).$$

*Доказательство.* См. рис. 7. Рассмотрим путь  $p$  шашки из точки  $(0, 0)$  в точку  $(0, 2n)$ , который не имеет других точек пересечения с прямой  $x = 0$ . Заметим, что при  $n > 1$  такой путь пересекает прямую  $x = 2$  в точке  $(2, 2)$ . Так как  $p$  заканчивается на прямой  $x = 0$ , то он пересекает прямую  $x = 1$  в еще хотя бы одной точке  $(1, 2j+1)$ , отличной от  $(1, 1)$ . Здесь  $j$  может принимать значения от 1 до  $n-2$ . Выберем среди этих  $j$  наименьшее. Рассмотрим отображение, которое каждому пути  $p$  сопоставляет пару путей  $(m, l)$ , стартующих из  $(0, 0)$ , где путь  $l$  повторяет все ходы пути  $p$  со второго и до  $(2j+1)$ -го, а путь  $m$  начинается с хода вправо-вверх, а затем повторяет ходы пути  $p$  с  $(2j+2)$ -го до последнего.

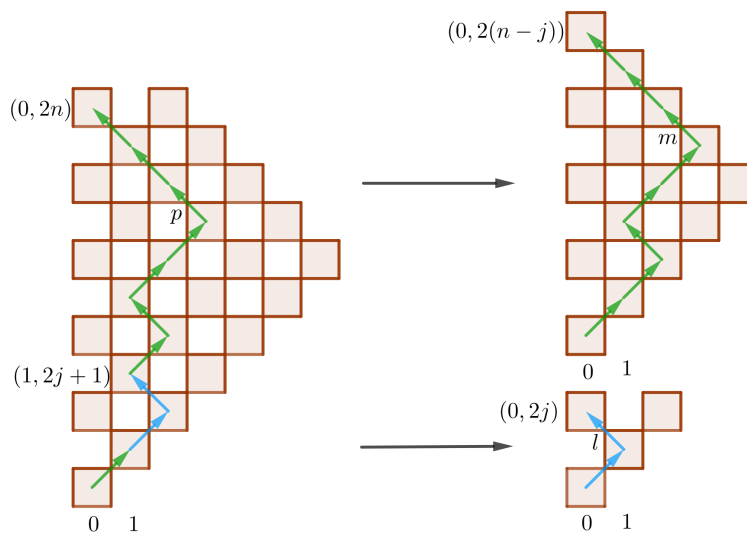


Рис. 7: Отображение путей (см. лемму 4)

Покажем, что это отображение — биекция между множеством путей, дающими вклад в  $a(0, 2n \text{ bypass } 0)$ , и объединением множеств пар путей, дающих вклад в  $a(0, 2(n-j) \text{ bypass } 0)$



и  $a(0, 2j \text{ bypass } 0)$  соответственно, по всем  $j$  от 1 до  $n - 1$ . Для этого построим обратное отображение, т.е. по любой паре  $(m, l)$  восстановим путь  $p$ . Сделаем из точки  $(0, 0)$  сначала ход вправо-вверх, затем все ходы пути  $l$ , а затем ходы пути  $m$ , кроме первого. Легко видеть, что построенный путь приходит в клетку  $(0, 2n)$  и он впервые пересекает прямую  $x = 1$  в точке  $(1, 2j + 1)$ . Ясно, что построенное отображение обратно исходному, а значит, они оба — биекции.

Тогда при  $j < n - 1$  имеем

$$-\sqrt{2} a(p) = -i(-i)^{\text{turns}(p)} 2^{1-n} = i(-i)^{\text{turns}(m)} 2^{1/2-n+j} i(-i)^{\text{turns}(l)} 2^{1/2-j} = a(m)a(l),$$

так как путь  $p$  имеет такую же длину и на один поворот больше, чем  $l$  и  $m$  в сумме.

Если же  $j = n - 1$ , то  $\sqrt{2} a(p) = a(l)a(m)$ , так как путь  $p$  имеет такую же длину и на один поворот меньше, чем  $l$  и  $m$  в сумме.

Тогда суммируя по всем путям  $p$ , получаем:

$$\begin{aligned} -\sqrt{2} a(0, 2n \text{ bypass } 0) &= \sum_{j=1}^{n-2} a(0, 2(n-j) \text{ bypass } 0) a(0, 2j \text{ bypass } 0) - \\ &- a(0, 2(n-1) \text{ bypass } 0) a(0, 2 \text{ bypass } 0) = \sum_{j=2}^{n-2} a(0, 2(n-j) \text{ bypass } 0) a(0, 2j \text{ bypass } 0). \end{aligned}$$

□

Теперь мы можем легко доказать теорему 1.

*Доказательство теоремы 1.* Достаточно доказать утверждение для четного  $t = 2n$ . Сделаем это по индукции. Базу индукции ( $n = 1$  и  $2$ ) легко проверить из определений. Докажем переход.

Если  $n$  — четное больше двух, то

$$\begin{aligned} a(0, 2n \text{ bypass } 0) &= \frac{-1}{\sqrt{2}} \sum_{j=2}^{n-2} a(0, 2(n-j) \text{ bypass } 0) a(0, 2j \text{ bypass } 0) = \\ &= \frac{-1}{\sqrt{2}} \sum_{\substack{j=2 \\ j \text{ четное}}}^{n-2} \frac{(-1)^{(n-j)/2-1} \binom{n-j-2}{(n-j)/2-1}}{((n-j)/2) 2^{n-j-1/2}} \cdot \frac{(-1)^{j/2-1} \binom{j-2}{j/2-1}}{(j/2) 2^{j-1/2}} = \frac{(-1)^{n/2-1} \binom{n-2}{n/2-1}}{(n/2) 2^{n-1/2}}. \end{aligned}$$

Здесь первое равенство следует из леммы 4, второе — из предположения индукции, а последнее — из рекуррентной формулы для чисел Каталана.

Если же  $n$  — нечетное больше двух, то

$$\begin{aligned}
a(0, 2n \text{ bypass } 0) &= \frac{-2}{\sqrt{2}} \sum_{j=2}^{n-2} a(0, 2(n-j) \text{ bypass } 0) a(0, 2j \text{ bypass } 0) = \\
&= \frac{-2}{\sqrt{2}} \sum_{\substack{j=2 \\ j \text{ четное}}}^{n-2} 0 \cdot \frac{(-1)^{j/2-1} \binom{j-2}{j/2-1}}{(j/2)2^{j-1/2}} = 0.
\end{aligned}$$

Равенство  $\sum_{t=1}^{\infty} P(0, t \text{ bypass } 0) = \frac{2}{\pi}$  доказывается так же, как в [1, доказательство теоремы 8].

□

## Список литературы

- [1] A. Ambainis, E. Bach, A. Nayak, A. Vishwanath, J. Watrous, One-dimensional quantum walks, Proc. of the 33rd Annual ACM Symposium on Theory of Computing (2001), 37–49.
- [2] R.P. Feynman, A.R. Hibbs, Quantum mechanics and path integrals, New York, McGraw-Hill, 1965.
- [3] J. Kempe, Quantum random walks: an introductory overview, Contemp. Phys. 50:1 (2009), 339-359.
- [4] Skopenkov M. Ustinov A. Feynman checkers: towards algorithmic quantum theory, Russian Math Surveys, 2022, to appear, <https://arxiv.org/abs/2007.12879>
- [5] S.E. Venegas-Andraca, Quantum walks: a comprehensive review, Quantum Inf. Process. 11 (2012), 1015–1106.